

**Торайғыров университетінің хабаршысы
ҒЫЛЫМИ ЖУРНАЛЫ**

**НАУЧНЫЙ ЖУРНАЛ
Вестник Торайгыров университета**

Торайғыров университетінің ХАБАРШЫСЫ

**Энергетикалық сериясы
1997 жылдан бастап шығады**



**ВЕСТНИК
Торайгыров университета**

**Энергетическая серия
Издается с 1997 года**

ISSN 2710-3420

№ 2 (2023)

Павлодар

СВИДЕТЕЛЬСТВО

о постановке на перечет периодического печатного издания,
информационного агентства и сетевого издания

№ 14310-Ж

выдано

Министерство информации и общественного развития
Республики Казахстан

Тематическая направленность

публикация материалов в области электроэнергетики,
электротехнологии, автоматизации, автоматизированных и
информационных систем, электромеханики и теплоэнергетики

Подписной индекс – 76136

<https://doi.org/10.26516/10136>

Бас редакторы – главный редактор

Кислов А. П.

к.т.н., доцент

Заместитель главного редактора
Талипов О. М., доктор Ph.D, доцент
Ответственный секретарь
Приходько Е. В., к.т.н., профессор

Акшев К. М., Тулегулов А. Д., Байжарикова М., Аманкул Т., Ергеш М.	35
Электр энергетикасын тұттынуды бакылау, есепке алу және деректерді жинау бойынша міндертерді шешу үшін пән- жанаралық мүмкіндектері	61
Андреева О. А., Гоненко Т. В., Любецкая М. А., Азаматов М. Т.	47
Жылу апмасыз аппараттарын басқарудың интеллектуалды жүйесін қолдану	84
Әмірхан М. Н., Искакова К. А.	47
Күн пәнеліне арналған трекер жүйесі	61
Балтин А. Т., Ахметбаев Да С., Тамкеева Г. Г., Асаинов Г. Ж.	61
Казакстан Республикасында 20КВ Тарату Желілерінің Сенімділігін Барукин А. С., Маиралов Б. Е., Клецель М. Я.	96
2N кайталама орамдарымен және 2Н түзеткіштерімен трансформаторы бар түрлендіргіш кондырылардың ресурс үнемдейтін дифференциалды корғанысы	84
Волгин М. Е., Волгина Е. М., Кислов А. П.	107
Реактивті қуатты оңтайлы басқару арқылы өнеркәсіптік кесіпорындардың 6-10 кВ электр жептерінің түмділігін артыру	118
Генбач А. А., Бондарцев Д. Ю., Генбач Н. А.	132
Энергия жабдығының түтік-кеүекті қырылымдарында жылу апмасызын көрсету	132
Глушенко Т. И., Бедыч Т. В., Фёдорова М. Л., Исабекова Б. Б., Бижанов Н. У.	132
Автономды энергиямен қамтамасыз ету үшін балама технологиялар	132
Жалмагамбетова У., Турсын М.	132
Тұзды Атудың Технологиялық Процессинің Автоматандырылған Жүйесін Жаңырту	132
Жумагулов М. Г., Баубек А. А., Грибков А. М., Глазырин С. А., Долзов М. В.	132
Темендегуди Зерттеу Және Оларды Артыру Өдістері	132
Исабеков Д. Д., Бобров В. Я., Марковский В. П.	132
Электрқондырылардың ресурсу үнемдейтін ток қорғаныстары	153
Исенов С. С., Шеръязов С. К.	153
Жанартыглатын көздер базасында электрмен жабдықтау жүйелерінің жай-күй мән дамуын талдау	166
Испулов Н. А., Султанова М. Ж., Оспанова Ж. Дж., Джусупова Э. М.	181
Микроконтроллерге негізделген ауаны жылытуды басқару жүйесі	181

За достоверность материалов и рекламы ответственность несут авторы и рекламодатели

Редакция оставляет за собой право на отклонение материалов

При использовании материалов журнала ссылка на «Вестник Торайтыров университета» обязательна

© Торайтыров университет

STUDY OF RELIABILITY REDUCTION OF 20 kV DISTRIBUTION NETWORKS IN THE REPUBLIC OF KAZAKHSTAN AND METHODS OF THEIR IMPROVEMENT

Improving the reliability of the power supply system is a key issue in the electric power industry and one of the urgent tasks. In the power supply system, the traditional distribution network is responsible for supplying existing consumers. There is a problem of increasing concentration of electrical loads, especially in megacities, which requires increasing the voltage level to increase the network capacity. Currently, in the Republic of Kazakhstan, only in the capital Astana, there is little experience in operating a 20 kV distribution network. This article discusses the possibility of using cables in the distribution network, justifies the choice of a voltage of 20 kV to ensure the proven capacity of cables in various natural and climatic conditions. To ensure the reliability of the electrical network, the factors that can lead to a decrease in reliability indicators are discussed. The article presents the characteristics of paper-insulated and cross-linked polyethylene cables for 20 kV networks and shows the dependence of the optimal throughput for a given voltage on the length of the line, which is very important for short circuits in medium voltage networks. Based on the half-century experience of European countries, it can be expected that international best practices on technologies for converting existing 10 kV distribution networks to 20 kV voltage will reduce costs and increase the reliability of distribution networks.

Keywords: voltage 20 kV, reliability of the electrical network, capacity, electrical cables, electrical networks.

РЕСУРСОСБЕРЕГАЮЩАЯ ДИФФЕРЕНЦИАЛЬНАЯ ЗАЩИТА ПРООБРАЗОВАТЕЛЬНЫХ УСТАНОВОК С ТРАНСФОРМАТОРОМ С 2Н ВТОРИЧНЫМИ ОБМОТКАМИ И 2Н ВЫПРЯМИТЕЛЯМИ

Обосновывается актуальность разработки не используемых трансформаторов тока ресурсосберегающих дифференциальных защит преобразовательных установок. Отмечается, что одним из направлений решения этой задачи является использование магнитоочувствительных элементов. Упоминается, что в НАО «Торайтыров университете» ранее была предпринята попытка построить устройство дифференциальной защиты преобразовательных установок без трансформаторов тока на герконах. Установлено, что до настоящего времени не предлагались дифференциальные защиты для преобразовательных установок с трансформатором с 2н вторичными обмотками (где n – количество вторичных обмоток трансформатора, соединенных в «звезду» и «треугольник») и 2н выпрямителями. Предлагается запатентованый способ построения такой защиты. Способ заключается в измерении ЭДС на выводах катушек индуктивности, установленных близко один к другому, в уравнении и вычитании ЭДС, находимых токами в этих шинах, полученных от катушек для одноименных фаз, а также в последующем сравнении полученных разностей с эталонной величиной. Приведена модель устройства, реализующего предлагаемый способ построения защиты, и проанализировано его поведение в различных режимах работы преобразовательной установки. Представлены осцилограммы, полученные путем моделирования при пробе и при обрыве диода одного из 2н выпрямителей.

Материалы и методы.

Способ защиты на катушках индуктивности [11] заключается в том, что вблизи бл. шин, соединяющих с $2n$ выпрямителями выводы $2n$ вторичных обмоток трансформатора ПУ со стороны его низшего напряжения, устанавливают бл. катушек индуктивности (КИ) и измеряют ЭДС на их выводах (по которым судят о токах в этих шинах). Сдвигают по фазе ЭДС, полученные от КИ, установленных вблизи шин, соединяющих с n выпрямителями выводы в вторичных обмоток трансформатора, соединенных в «звезду». Из полученных после сдвига фаз ЭДС вычитают ЭДС, полученные от КИ, установленных вблизи шин, соединяющих с выпрямителями выводы

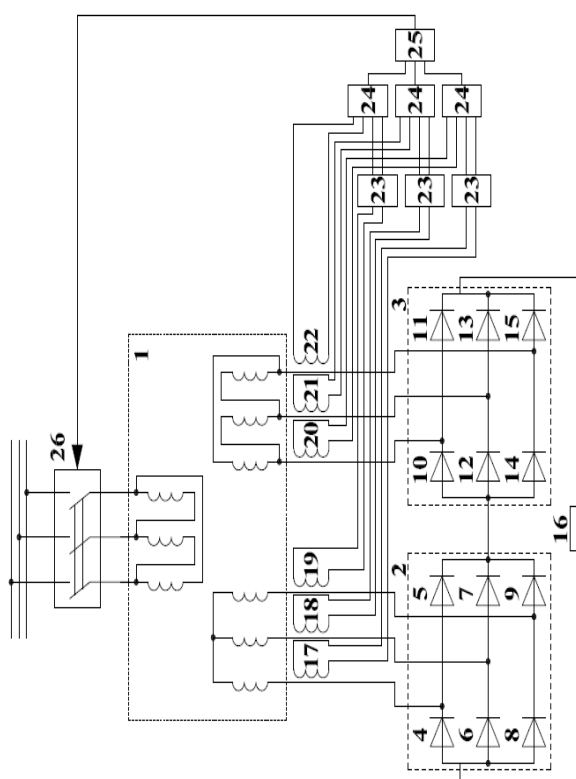


Рисунок 1 – Функциональная схема устройства защиты

Результаты и обсуждение.

Рассмотрим реализацию этого способа для ПУ, например, с трансформатором 1 (рисунок 1) мощностью 2,5 МВ • А (номинальное напряжение первичной обмотки 10 кВ) с двумя вторичными обмотками, двумя выпрямителями и выпрямленным напряжением 450 В, с соединением обмоток: со стороны высшего напряжения «треугольнику», с сопротивлениями низшего напряжения трансформатора одна обмотка – «звезда», другая – «треугольник». Вторичные обмотки трансформатора 1 подключены к выпрямителям 2 и 3, которые соединены по мостовой схеме последовательно. Выходы выпрямителей 2 и 3 подключены к нагрузке Ларионова, содержащему по 6 дисков 4–9 и 10–15, соответственно, и включены последовательно. При этом нагрузке токи в шинах, соединяющих 16 мощностью 1,8 МВт. Выходы обмоток трансформатора со стороны его низшего напряжения с выпрямителями, составляют (получены с помощью модели, рассмотренной ниже): со стороны вторичной обмотки, соединенной в «звезду»,

$I_{2IA} = 4000e^{-j44^\circ}$ А, $I_{2IB} = 4000e^{j196^\circ}$ А, $I_{2IC} = 4000e^{j76^\circ}$ А; стороны вторичной обмотки, соединенной в «треугольник», $I_{\Delta A} = 4000e^{-j14^\circ}$ А.

$I_{\Delta C} = 4000e^{j106^\circ}$ А. Для измерения и преобразования в ЭДС индукции магнитного поля, созданного токами в шинах, соединяющих вторичные обмотки трансформатора с выпрямителями, могут быть использованы КИ 17-22 с количеством витков $w = 8000$, площадью попеченного сечения $s = 0,0007 \text{ м}^2$ и $l = 0,03 \text{ м}$. Катушки индуктивности устанавливают под шинами, соединяющими выводы обмоток трансформатора 1 со стороны его низшего напряжения с выпрямителями 2 и 3, например, на безопасном по технике безопасности расстоянии $h = 0,12 \text{ м}$. В режиме нагрузки при протекании указанных токов в шинах, соединяющих выводы обмоток трансформатора 1 со стороны его низшего напряжения с выпрямителями 2 и 3, на выводах КИ 17 наводится ЭДС:

$$\underline{E}_1 = \mu_0 \mathcal{N}_S \frac{I_{2IA}}{h} e^{-j90^\circ} = 11,72e^{-j134^\circ} \text{ В}, \quad (1)$$

где $\mu_0 = 4\pi \cdot 10^{-7} \text{ ГН/м}$ – магнитная постоянная.

Аналогично (1), ЭДС на выводах КИ 18–22 $\underline{E}_2 = 11,72e^{j106^\circ}$ В, $\underline{E}_3 = 11,72e^{-j14^\circ}$ В, $\underline{E}_4 = 11,72e^{-j104^\circ}$ В, $\underline{E}_5 = 11,72e^{j136^\circ}$ В, соответственно.

$$\underline{E}_6 = 11,72e^{j16^\circ} \text{ В}$$

ЭДС $\underline{E}_1 \div \underline{E}_3$ подают на входы фазоповоротных схем (ФПС) 23, которые сдвигают их на 300°. В результате на выходах ФПС 23 появляются ЭДС $\underline{E}_{11} = 11,72e^{-j104^\circ}$ В, $\underline{E}_{21} = 11,72e^{-j136^\circ}$ В, $\underline{E}_{31} = 11,72e^{j16^\circ}$ В. ЭДС \underline{E}_{11} , \underline{E}_{21} , \underline{E}_{31} , \underline{E}_4 , \underline{E}_5 , \underline{E}_6 подают на входы схем 24 сравнения разностей ЭДС с эталонной величиной, где вычисляют абсолютное значение разностей ЭДС $|\underline{E}_{11} - \underline{E}_4|$, $|\underline{E}_{21} - \underline{E}_5|$, $|\underline{E}_{31} - \underline{E}_6|$, и сравнивают их с эталонным значением ЭДС, равным $E_{\pi} = 2 \text{ В}$. Эта цифра получается в результате отстройки от ЭДС небаланса, которая зависит от погрешности установки КИ 17–22 и погрешности устройства, реализующего способ. Так как в режиме нагрузки указанные разности не превышают эталонное значение ЭДС $E_{\pi} = 2 \text{ В}$, то защита не срабатывает.

При двухфазном коротком замыкании (КЗ), например, со стороны низшего напряжения трансформатора 1 между фазами В и С на 1 осуществлено при помощи элемента Three-Phase Transformer (Three Windings), для которого задаются такие параметры, как: номинальная мощность (в $\hat{\mathbf{A}} \cdot \hat{\mathbf{A}}$), схема соединения первичной и вторичных

КИ $I_{\Delta A} = 3700e^{-j28^\circ}$ А, $I_{\Delta B} = 3340e^{j20^\circ}$ А, $I_{\Delta C} = 3700e^{j107^\circ}$ А. При этом на выводах

17-22 по(1) получаем: $\underline{E}_1 = 10,84e^{-j139^\circ}$ В, $\underline{E}_2 = 10,84e^{j67^\circ}$ В, $\underline{E}_3 = 9,79e^{-j28^\circ}$ В,

Тогда на выходах ФПС 23 $\underline{E}_{11} = 10,84e^{j97^\circ}$ В, $\underline{E}_{31} = 9,79e^{j2^\circ}$ В, а абсолютное значение разностей ЭДС:

$$|\underline{E}_{11} - \underline{E}_4| = |10,84e^{-j109^\circ} - 10,84e^{-j62^\circ}| = 8,64 \text{ В},$$

$$|\underline{E}_{21} - \underline{E}_5| = |10,84e^{-j97^\circ} - 9,79e^{j130^\circ}| = 5,95 \text{ В},$$

$$|\underline{E}_{31} - \underline{E}_6| = |9,79e^{j2^\circ} - 10,84e^{-j17^\circ}| = 2,89 \text{ В}.$$

Так как полученные разности превышают эталонное значение ЭДС $E_{\pi} = 2 \text{ В}$, то на выходах схем 24 появляются сигналы, которые поступают на входы исполнительного органа 25. Последний срабатывает и подает сигнал на отключение выключателя 26. Отметим, что в случае необходимости (как правило, при малых токах нагрузки) рассмотренное устройство может быть дополнено усилителями, входы которых подключаются к выходам ФПС 23 и к выводам КИ 17-22, а выходы – к выходам схем 24.

Значения токов, протекающих при двухфазном КЗ в шинах, соединяющих выводы обмоток трансформатора 1 со стороны его низшего напряжения с выпрямителями 2 и 3, получены (как и при нагрузке) при помощи модели рассматриваемой ГУ, для реализации которой была использована среда динамического моделирования MatLab SimPowerSystems. Адекватность реализации и математического описания всех элементов, входящих в состав данного пакета, проверены канадским производителем электроэнергии, фирмой Hydro-Quebec [12]. Моделирование трансформатора 1 осуществлено при помощи элемента Three-Phase Transformer (Three Windings), для которого задаются такие параметры, как: номинальная

Торайыров Университеттін хабаршысы. ISSN 2710-3420.
Энергетикалық сериясы. № 2. 2023
 обмоток, действующие значения их линейных напряжений (в В), активные
 сопротивления и индуктивности обмоток (в о.е.), активное сопротивление
 ветви намагничивания (в о.е.). Выпрямители 2 и 3 реализованы при помощи
 элементов Universal Bridge. В качестве нагрузки 16 и сплаживающего фильтра
 (на рисунке 1 не показан) использованы элементы Series RLC Branch.
 Моделирование электрической сети, к которой подключается трансформатор
 1, осуществлено при помощи блока Three-Phase Source, для которого
 задаются действующие значения линейного напряжения (в В), частота (в Гц),
 сопротивление сети (в Ом) и ее индуктивность (в Гн). Для моделирования
 выключателя 26 использован элемент Three-Phase Breaker.

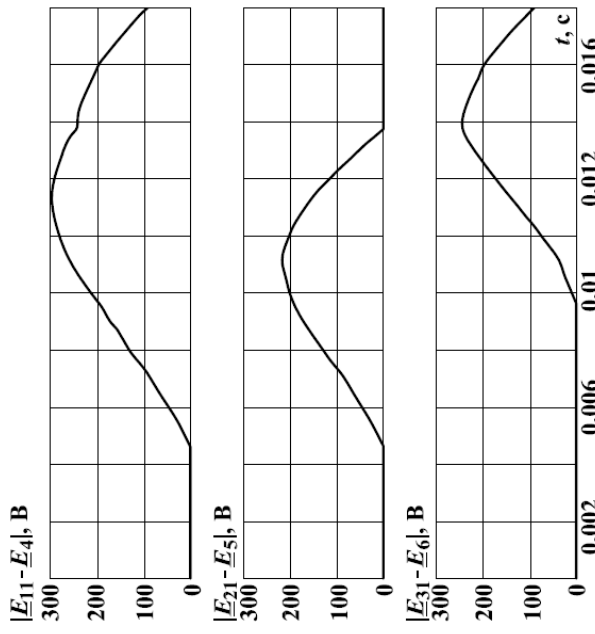


Рисунок 2 – Разности ЭДС при пробое диода 4

Также было смоделировано рассмотренное выше устройство защиты. КИ 17-22 реализованы с помощью элементов Three-Phase VI Measurement, From, Goto, Demux и Gain. Для моделирования ФПС 23 использованы элементы Transport Delay. Схемы 24 сравнения разностей ЭДС с эталонной величиной реализованы с помощью элементов Add, Abs и Compare To Constant. Исполнительный орган 25 выполнен с помощью элемента Logical Operator.

На рисунках 2 и 3 представлены осциллограммы разностей $|E_{11} - E_4|$, $|E_{21} - E_5|$, $|E_{31} - E_6|$, полученных путем моделирования при пробое диода 4 и при его открытии. Величины разностей ЭДС в этих аварийных режимах превышают эталонное значение ЭДС $E_{\text{эт}} = 2 \text{ В}$. Следовательно, защита срабатывает, и исполнительный орган 25 подает команду на отключение выключателя 26.

Рисунок 3 – Разности ЭДС при пробое диода 4

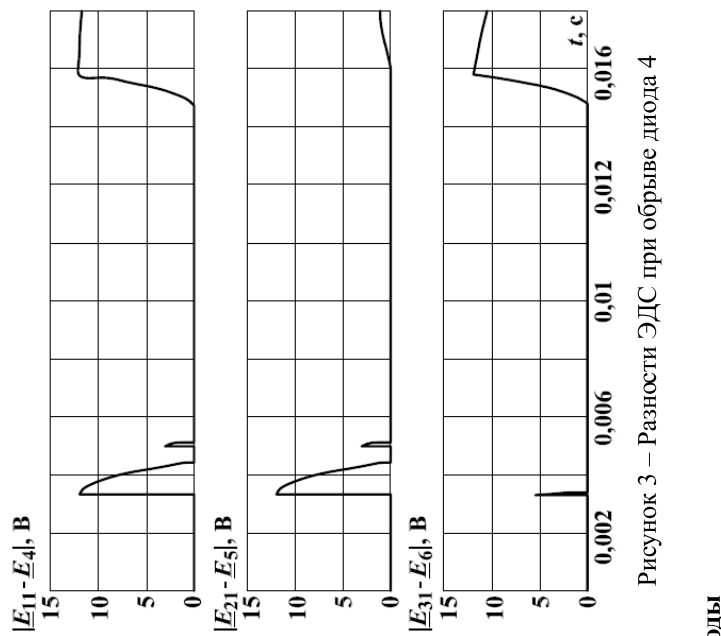


Рисунок 3 – Разности ЭДС при открытии выключателя 26

Предложенный в данной работе способ построения дифференциальной защиты преобразовательных установок с силовым трансформатором с 2n вторичными обмотками и 2n выпрямителями позволяет обойтись без трансформаторов тока с ферромагнитными сердечниками, благодаря чему удастся значительно экономить медь и стать в технике релейной защиты. Этот способ дает возможность повысить чувствительность дифференциальных защит преобразовательных установок, так как отпадает необходимость в отстройке от бросков тока намагничивания силового трансформатора.

СПИСОК ИСПОЛЬЗОВАННЫХ ИСТОЧНИКОВ

1 **Андреев, В.А.** Релейная защита и автоматика систем электроснабжения

– М. : Высшая школа, 2006. – 639 с.

2 **Глух, Е. М.** Защита полупроводниковых преобразователей. – М. : Высшая школа, 2006. – 639 с.

3 **Flick, J. R., Sims, C. W.** AC/DC converter fault detector // Патент США №5206801. 1993.

4 **Xiaowei, F., Gang, L., Dong, Z.** Direct current differential protection method of rectification unit // Патент Китая №101764394A. 2010.

5 **Zhang, J.** Differential protection principle for the new converter transformers // Dianli Xitong Zidonghua: Automation of Electric Power Systems, 2011.– vol. 35, is. 4. – P. 46–50.

6 **Gajic, Z.** Practical Experience with Differential Protection for Converter Transformers // Study Committee B5 Colloquium CIGRE, Belo Horizonte. – 2013. – P. 315–324.

7 **Дьяков, А.Ф., Ишкин, В.Х., Мамиконянц, Л.Г., Семенов, В.А.** Электроэнергетика мира в начале XXI столетия (по матер. 39-й сессии СИПРЭ, Париж) // Энергетика за рубежом. – М. : ЗАО Научно-техническая фирма «Энергопрогресс», 2004. – Вып. 4–5. – 176 с.

8 **Kozhovich, L.A., Bishop, M.T.** Modern relay protection with current sensors on the basis of Rogovsky Coil // Modern Development of Relay Protection and Power System Automation Systems. Materials of International Scientific and Technical Conf., 2009. – P. 39–48.

9 **Клещель, М.Я.** Основы построения релейной защиты на герконах // Современные направления развития систем релейной защиты и автоматики энергосистем: матер. 4-й междунар. науч.-техн. конф. – Екатеринбург, 2013. – С. 1–10.

10 **Клещель, М.Я., Барукин, А.С., Горюнов, В.Н., Леньков, Ю.А.** Устройство дифференциальной защиты на герконах и магниторезисторе для преобразовательной установки с трансформатором и выпрямителем // Патент Российской Федерации №2614243, 2017.

11 **Клещель, М.Я., Барукин, А.С., Машрапов, Б.Е., Габдулов, А.У., Никитин, К.И.** Способ защиты преобразовательной установки с трансформатором с 2n вторичными обмотками и 2n выпрямителями // Патент Российской Федерации №2683266, 2019.

12 SimPowerSystems. User's Guide. Version 4 – The Math Works, Inc., 2006. – 931 с.

REFERENCES

1 **Andreev, V.A.** Relejnaya zashchita i avtomatika sistem elektrosnabzheniya [Relay protection and automation of power supply systems]. – М. : Vysshaya shkola, 2006. – 639 p.

2 **Gluh, E.M.** Zashchita poluprovodnikovykh preobrazovatelej [Protection of semiconductor converters]. – М. : Energoizdat, 1982. – 152 p.

3 **Flick, J.R., Sims, C.W.** AC/DC converter fault detector // Pat. USA №5206801. 1993.

4 **Xiaowei, F., Gang, L., Dong, Z.** Direct current differential protection method of rectification unit // Pat. China №101764394A. 2010.

5 **Zhang, J.** Differential protection principle for the new converter transformers // Dianli Xitong Zidonghua: Automation of Electric Power Systems, 2011. – vol. 35, is. 4. – P. 46–50.

6 **Gajic, Z.** Practical Experience with Differential Protection for Converter Transformers // Study Committee B5 Colloquium CIGRE, Belo Horizonte. – 2013. – P. 315–324.

7 **Dyakov, A.F., Ishkin, V.Kh., Mamikonants, L.G., Semenov, V.A.** Elektroenergetika mira v nachale XXI stoletiya (po mater. 39-i sessii SIGRE Parizh) [Electric power industry of the world at the beginning of the XXI century (based on the materials of the 39th session of CIGRE, Paris)] // Energy Abroad. – М.: CJSC Scientific and technical firm "Energoprogress", 2004. – Issue 4–5. – 176 p.

8 **Kozhovich, L.A., Bishop, M.T.** Modern relay protection with current sensors on the basis of Rogovsky Coil // Modern Development of Relay Protection and Power System Automation Systems. Materials of International Scientific and Technical Conf., 2009. – P. 39–48.

9 **Клещель, М.Я.** Основы построения релейной защиты на герконах // Современные направления развития систем релейной защиты и автоматики энергосистем: матер. 4-й междунар. науч.-техн. конф. – Екатеринбург, 2013. – С. 1–10.

10 **Клещель, М.Я., Барукин, А.С., Горюнов, В.Н., Леньков, Ю.А.** Устройство дифференциальной защиты на герконах и магниторезисторе для преобразовательной установки с трансформатором и выпрямителем // Патент Российской Федерации №2614243, 2017.

11 **Клещель, М.Я., Барукин, А.С., Машрапов, Б.Е., Габдулов, А.У., Никитин, К.И.** Способ засыпки обмотками 2n выпрямителями [Protection method of a converter installation with a transformer with 2n secondary windings and 2n rectifiers] // Pat. Russian Federation №2683266. 2019.

*A. С. Барукин¹, Б. Е. Машрапов², М. Я. Кіеуелб³

1, 2, 3 Торайғыров университет, Казакстан Республикасы, Павлодар қ.

2N ҚАЙТАЛАМА ОРАМДАРЫМЕН ЖӘНЕ 2N ТҮЗЕТКІШТЕРІМЕН ТРАНСФОРМАТОРЫ БАР ТҮРЛЕНДІРГІШ КОНДЫРЫЛЫРДЫН РЕСУРС ҮҢЕМДЕЙТИН ДИФФЕРЕНЦИАЛДЫ ҚОРҒАНЫСЫ

Трансформаторлардың таідаланбаітын түрлендіргішін қоидырығылардың ресурс үнемдейтін дифференциалды қорғанысын оңдедің озектілігі негізделеді. Бұл мәселең шешудің бір бағыты магнитке сезімтал элементтердің колдану болын табылады. «Торайғыров университеттегі» KEAK-да бүркін гөркөндарда ток трансформаторларының түрлендіргіш қондырылғыларды дифференциалды қорғау күрьозының жасауға ерекет жасалғаны айтылады. Осы уақыттаң деңін 2n екінші реттік трансформаторы бар (мұндай n – «жұлдызға» және «үйіншінің») қосылған трансформатордың екінші реттік орамаларының саны) және 2n түзеткіштері бар түрлендіргіш қондырылғылардың дифференциалды қорғаныс үсьынылағаны анықталды. Мұндай қорғауды құрудын пәннен шеген әдісі үсьынылағы. Бұл әдіс түрлендіргіш қондырылғының трансформаторының толемегі көрнегі жасынан барлық фазаларды шинапарына жасақын орналасқан индуктивтік катушкаларындағы ЭКК-ны өлиеу, осы шинапардың токтармен басқарылатын ЭКК-ны теңестіруге және азаттую, аттас фазалар үшін катушкалардан анынған, сондай-ақ алғынан айырмаларды этаптан мәнімен салыстыру болып табылады. Қорғауды құрудың үсынылған әдістің жүзеге асыратын күрьозының моделі көтірілген және оның түрлендіргіш қоидырығының әртүрлі жұмысы реалсандырғандегі ерекеті тапдалған. 2n түзеткіштердің бірінің диоды сыйлан кезде және үзілген кезде модельдегі арқылы альянсан осцилограммалар үсынылған.

Кілттің создер: түрлендіргіш қондырылғы, трансформатор, дифференциалды қорғаныс, индуктивтік катушка, шина.

*A. S. Barukin¹, B. E. Mashrapov², M. Ya. Kletsel³

RESOURCE-SAVING DIFFERENTIAL PROTECTION OF CONVERTER INSTALLATION WITH A TRANSFORMER WITH 2N SECONDARY WINDINGS AND 2N RECTIFIERS

The relevance of the development of resource-saving differential protection of converter installations that do not use current transformers is substantiated. It is noted that one of the directions for solving this problem is the use of magnetically sensitive elements. It is mentioned that in NJSC Toraigyrov University an attempt was made earlier to build a differential protection device for converter installations without current transformers on reed switches. It has been established that so far differential protection has not been offered for converter installations with a transformer with 2n secondary windings (where n is the number of secondary windings of the transformer connected in a star and delta connection) and 2n rectifiers. A patented method for constructing such protection is proposed. The method consists in measuring the EMF at the terminals of inductance coils installed near the busbars of all phases on the low voltage side of the transformer of the converter installation, in equalizing and subtracting the EMF induced by currents in these busbars, obtained from coils for the same phases, and also in the subsequent comparison of the obtained differences with reference value. A model of a device that implements the proposed method for constructing protection is presented, and its behavior in various modes of operation of the converter installation is analyzed. The oscilograms are presented, obtained by modeling during a breakdown and during a break in the diode of one of the 2n rectifiers.

Keywords: converter installation, transformer, differential protection, inductance coil, busbar.

Автор не должен представлять статью, идентичную ранее опубликованной в другом журнале. В частности, не принимаются переводы на английский либо немецкий язык статей, уже опубликованных на другом языке.

В случае обнаружения в рукописи статьи существенных ошибок автор должен сообщить об этом редактору раздела до момента подписи в печать оригинал-макета номера журнала. В противном случае автор должен за свой счет исправить все критические замечания.

Направляя статью в журнал, автор осознаёт указанную степень персональной ответственности, что отражается в письменном обращении в редакционную коллегию журнала.

Теруге 12.06.2023 ж. жіберлі. Басуға 30.06.2023 ж. көп койылды.

Электрондық баспа

3,77 Мб RAM

Шартты баспа табағы 13,12. Тараптымы 300 дана. Бағасы келісім бойынша.

Компьютерде беттеген: З. С. Искакова

Корректор: А. Р. Омарова

Тапсырыс № 4103

Сдано в набор 12.06.2023 г. Подписано в печать 30.06.2023г.

Электронное издание

3,77 Mb RAM

Усл. печ. л. 13,12. Тираж 300 экз. Цена договорная.

Компьютерная верстка: З. С. Искакова

Корректор: А. Р. Омарова

Заказ № 4103

«Toraighyrov University» баспасынан басылып шығарылған

«Торайғыров университет»

коммерциялық емес акционерлік қоғамы
140008, Павлодар қ., Ломов к., 64, 137 каб.

«Toraighyrov University» баспасы

«Торайғыров университет»

коммерциялық емес акционерлік қоғамы
140008, Павлодар қ., Ломов к., 64, 137 каб.
8 (7182) 67-36-69

E-mail: kereku@tou.edu.kz

www.vestnik-energy.tou.edu.kz